



**Crystal-chemistry and whole rock geochemistry evidences  
for magma mixing, contamination and metasomatism in  
Akapol Granitoid (SW Kelardasht, Central Alborz)**

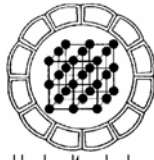
**D. Esmaeily, M. Khalaj, M. V. Valizadeh**

*School of Geology, University college of Science, University of Tehran, Tehran, Iran*  
Email: esmaili@khayam.ut.ac.ir

(Received:7/1/2007, received in revised form: 7/4/2007)

**Abstract:** The crystal-chemistry of the plagioclase, alkali feldspar, biotite, amphibole and whole rock geochemistry of Akapol granitic massif are investigated in this paper. The chemical composition of biotites and amphiboles plotted in the annite-siderophyllite, magnesiohornblende and actinolite fields, respectively. Comparison of the chemical composition of biotites and amphiboles with similar minerals from the California granitic batholith indicate that the monzogranitic unit of Akapol belongs to the strongly contaminated I-type granites. Accordingly, these rocks are highly contaminated and may have derived from upper mantle and/or lower crustal sources. They have experienced magma mixing or are affected by contamination with upper crustal rocks. These results are consistent with the curve like logarithmic diagrams of compatible/incompatible elements; the presence of the sieve, poikilitic and rapakivi textures; the partial absorption of the plagioclase phenochores; the presence of mafic microgranular enclaves and needle apatite in the samples. Based on this study, two types of plagioclase in monzogranitic unit can be recognized in the monzogranitic unit: the first generation occur in the alkali feldspar phenocrysts and the second generation is in the form of covering crystals in rapakivi and sieve textures which probably formed during magma mixing.

**Keywords:** *magma mixing, contamination, akapol, granitoid, rapakivi texture.*



## شواهد شیمی کانی و ژئوشیمی سنگ کل در آلوودگی، دگرنهادی، و اختلاط ماقمایی توده گرانیتیوئیدی اکاپل (جنوب غرب کلاردشت، البرز مرکزی)

داریوش اسماعیلی، مرضیه خلج، محمد ولی ولی زاده

دانشگاه تهران، پردیس علوم، دانشکده زمین‌شناسی  
پست الکترونیکی: esmaili@khayam.ut.ac.ir

(دریافت مقاله ۱۳۸۵/۱۰/۱۷، دریافت نسخه نهایی ۱۳۸۶/۱/۱۸)

**چکیده:** استفاده از مطالعات کانی‌شناسی و ژئوشیمی- کانی توده گرانیتی اکاپل با استفاده از نتایج آنالیز ریزکاو الکترونی کانیهای پلازیوکلаз، آلکالی فلدسپار، بیوتیت و آمفیبول و نیز ژئوشیمی سنگ کل این توده به منظور اثبات وجود آلوودگی، دگرنهادی و آلوودگی ماقمایی موضوع مقاله است. ترکیب شیمیایی این بیوتیتها و آمفیبولها نشان می‌دهد که واحد مونزو-گرانیتی اکاپل در رده گرانیتهای نوع I به شدت آلوود (ISC) قرار می‌گیرد، و از یک ماقمای مشتق از گوشهٔ فوقانی و یا پوستهٔ تحتانی، که تحت تاثیر اختلاط ماقمایی و یا آلایش با سنگهای پوسته‌ای قرار گرفته‌اند تشکیل شده است. این نتایج با فراوانی بافت‌های غربالی، پوئی کلیتیک، راپاکیوی، جذب بخشی درشت بلورهای پلازیوکلاز و حضور آنکلاوهای میکرو-گرانولار مافیک و آپاتیت‌های سوزنی شکل در نمونه‌های مورد مطالعه که از شواهد آلوودگی و اختلاط ماقمایی هستند، همخوانی دارد. بر اساس این بررسیها، دو نسل پلازیوکلاز با دو ترکیب شیمیایی مختلف در واحد مونزو-گرانیتی اکاپل قابل تشخیص‌اند، نسل اول به صورت نفوذ در فنوكریستلهای آلکالی فلدسپار قرار گرفتند، و نسل دوم بلورهای پلازیوکلازند که احتمالاً طی اختلاط ماقمایی تشکیل شده‌اند و به صورت بلورهای پوششی در بافت‌های راپاکیوی حضور دارند.

**واژه‌های کلیدی:** اختلاط ماقمایی، آلوودگی، بافت راپاکیوی، گرانیتیوئید، اکاپل.

**مقدمه**

اختلاط ماقمایی به عنوان فرایند مهمی در تغییر ترکیب شیمیایی ماقما و تشکیل ماقماهای گرانیتوئیدی و آندزیتی توسط محققین مختلف مورد بررسی قرار گرفته است: [۱ تا ۷]. هنگامی که یک ماقمای اولیه در اثر ذوب بخشی گوشه و یا بخش پائینی پوسته تشکیل و شروع به بالا آمدن می‌کند حین صعود و تا سرد شدن کامل و حتی پس از انجاماد، دستخوش تغییرات زیادی می‌شود که مهمترین آن تبلور جزء جزء، اختلاط ماقمایی و آلایش پوسته‌ای است. اختلاط ماقمایی ممکن است در حد اولیه و به شکل اختلاط فیزیکی، و یا ممکن است تا حد اختلاط شیمیایی و تشکیل یک ماقمای همگن دورگه نیز پیش رود.

توده گرانیتوئیدی اکپل در زون البرز مرکزی با سنی در حدود  $54 \pm 4$  تا  $56 \pm 3$  میلیون سال (به روش‌های U-Pb و  $^{39}\text{Ar}$ - $^{40}\text{Ar}$  بر روی زیرکن، بیوتیت و آلکالی فلدسپار، [۸]) یعنی در پالئوسن فوقانی تا ائوسن زیرین در محدوده جغرافیایی  $50^{\circ} 59'$  تا  $50^{\circ} 59'$  طول شرقی و  $22^{\circ} 22'$  تا  $27^{\circ} 36'$  عرض شمالی در سازنده‌های شمشک و مبارک نفوذ کرده است. این توده نفوذی قبلًاً توسط [۹ تا ۱۳] از جنبه‌های مختلف زمین‌شناسی مورد مطالعه قرار گرفته است. در مطالعات انجام شده روی توده گرانیتوئیدی اکپل به ویژه روی واحد مونزوگرانیتی آن به شواهد صحرایی و سنگ‌شناسخی اختلاط ماقمایی اشاره شده است [۱۴]. در این بررسی سعی شده است تا با استفاده از داده‌های شیمی‌کانی بیوتیت، آمفیبول، پلازیوکلاز و آلکالی فلدسپار در مورد خاستگاه و فرایندهای ماقمایی آن اطلاعاتی ارائه شود. بدین منظور برای بررسیهای سنگ‌شناسی، علاوه بر بررسی‌های صحرایی و مطالعات میکروسکوپی مقاطع نازک، از نتایج آنالیزهای شیمیایی ۱۱ نمونه از سنگ کل و ۴۷ نمونه از شیمی اندیشهای بیوتیت، آمفیبول، و فلدسپار نیز استفاده شده است. آنالیزهای شیمیایی سنگ کل در آزمایشگاه ALS Chemex کانادا برای اندازه‌گیری کمی عناصر اصلی و کمیاب به روش ICP-MS و آنالیز کانی‌ها نیز در آزمایشگاه فراوری مواد معدنی وزارت صنایع و معادن ایران با یک ریزکاو الکترونی SX50، مورد بررسی قرار گرفته است. در آنالیزهای ریزکاو الکترونی برای تعیین مقدار اکسیدهای عناصر اصلی و فرعی از استانداردهای آلومینیت، پریکلاز، کرنودوم، ارتوکلاز، ولستونیت، ردونیت، اسپیکولاریت، سلسیتیت، بنیتیت، و فلوریت استفاده شد. اختلاف پتانسیلی ۱۰ KV و جریان ۱۰ NA بوده است.

**(۱) زمین‌شناسی عمومی**

منطقه مورد مطالعه جزئی از زون البرز مرکزی محسوب می‌شود که رخنمونهایی از تهنشستهای دگرگون شده سازند کهر، کوارتزیت‌های کامبرین، نهشته‌های اردوویسین موسوم به سازند لشکرک، آهک مبارک و تهنشستهای سازند شمشک را می‌توان مشاهده کرد. رشتۀ کوه البرز بیشتر شامل تهنشستهای و مواد آتشفشنایی پرکامبرین تا ائوسن است که توده‌های نفوذی و

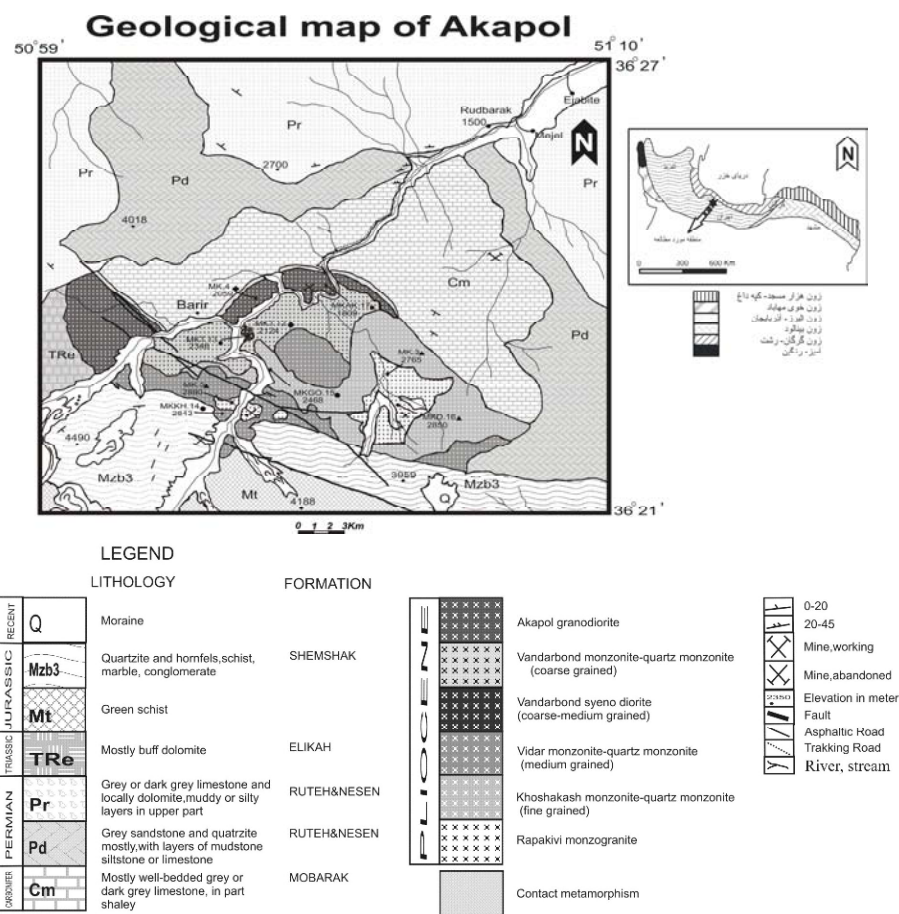
دایک‌های پالئوزوئیک تا پلیوستوسن در آنها نفوذ کرده‌اند [۱۵، ۱۶ و ۱۷]. در بخش غربی البرز مرکزی، فعالیت آذرین نفوذی ترباس به وسیله گرانیت و گرانودیوریت لاهیجان و در غرب با دیوریت و گابروی ماسوله مشخص می‌شود [۱۵]. در ژوراسیک پسین مرحله بعدی فعالیت ماقمایی که عبارت از فعالیت آذرین نفوذی است در البرز مرکزی (در شرق دماوند) و در شرق ماسوله، رخنمون یافته است. در غرب البرز نیز رخنمون دیگری از توده‌های نفوذی کرتاسه پسین یافت می‌شود. پس از کوهزاییهای کرتاسه پسین در زمان ائوسن، حجم عظیمی داشت، آندزیت، و بازالت، با توفیت و دیگر تهنشسته‌ای آواری نهشته شد و در ایران مرکزی و البرز سازند کرج را به وجود آورد. به اعتقاد [۱۵] توده‌های نفوذی نسبتاً کوچک و دایک‌هایی به سن ائوسن بالا با ترکیبی از گرانیت، گرانودیوریت، و مونزونیت که از قره داغ تا طارم رخنمون دارند، این نهشتة‌ها را قطع کرده‌اند. در پالئوسن فوقانی - ائوسن زیرین توده‌های نفوذی اکاپل و نوشاد و در پلیوسن نیز توده گرانیتی علم کوه در البرز مرکزی تشکیل شده‌اند. مشاهدات صحرابی نشان‌دهنده نفوذ توده گرانیتوئیدی اکاپل در سازندهای مبارک و شمشک و رخداد دگرگونی مجاورتی در آنهاست [۹، ۱۰، ۱۲].

## ۲) سنگشناسی

توده گرانیتوئیدی اکاپل از مرکز به حاشیه از سه واحد اصلی مونزوگرانیت پرفیروئیدی، واحد مونزونیت-کوارتز مونزونیت، و واحد گرانودیوریت خاکستری تشکیل شده است (شکل ۱). توصیف کامل این واحدها در [۱۳ و ۱۴] ارائه شده است. بخش مرکزی توده گرانیتوئیدی اکاپل از مونزوگرانیت با ساختار درشت‌دانه تا متوسط، به رنگ سفید مایل به صورتی و اغلب بافت پرفیروئیدی و گاهی بافت دانه‌ای معمولی تشکیل شده است. به علاوه بافت راپاکیوی و آنتسی راپاکیوی از مشخصات مهم بافتی این سنگ‌هاست. پلاژیوکلاز (۹۶-۳۲٪)، آلكالی فلدسپار (۲۷-۲۲٪)، کوارتز (۳۱-۲۴٪)، بیوتیت (۱۳٪)، آمفیبول (۱۰٪)، آپاتیت، اسفن، زیرکن، و کانی‌های تیره، اجزای سازنده این سنگ‌ها هستند. همچنین وجود آنکلاوهای ریزدانه و تیره رنگ با ترکیب دیوریت تا مونزوندیوریت از ویژگیهای مهم این واحد سنگی است. این آنکلاوهای در صhra به صورت مقاطع دایره‌ای تا بیضوی دیده می‌شوند و در مرز بین آنها و سنگ دربرگیرنده، حاشیه واکنشی مشخصی به رنگ سفید شیری ملاحظه می‌شود. ترکیب پلاژیوکلاز این نمونه‌ها که هم به صورت فنوکریست با ساختار زونینگ نوسانی و هم به صورت بلورهای تیغه‌ای در زمینه سنگ حضور دارند، از نوع الیگوکلاز تا آلبیت است. با توجه به ویژگیهای کانی‌شناسی و بافتی انکلاوهای در گروه آنکلاوهای میکروگرانولار مافیک قرار می‌گیرند [۱۸]. واحد مونزونیت-کوارتز مونزونیت با بافت گرانولار درشت‌دانه، متوسط و ریزدانه و ترکیب کانی‌شناسی پلاژیوکلاز (۳۵-۳۳٪)، آلكالی فلدسپار (۴۰-۳۵٪)، کوارتز (۷-۴٪)، بیوتیت (۱۰-

۰/۷)، آمفیبول (۰/۵-۰/۵)، آپاتیت، اسفن، زیرکن، و کانیهای کدر، فراوان ترین سنگهای توده نفوذی اکاپل را تشکیل می دهند.

سنگهای گرانودیوریتی نیز با بافت گرانولار و ترکیب کانی شناسی پلاژیوکلاز (۰/۳۳-۰/۳۸)، آکالی فلدسپار (۰/۱۲-۰/۱۴)، کوارتز (۰/۲۰-۰/۲۷)، بیوکیت (۰/۷-۰/۱۰)، آمفیبول (۰/۷-۰/۱۲)، و سایر کانیهای مشابه واحد قبلی، در حاشیه های شمالی و غربی توده نفوذی مورد مطالعه رخنمون دارند، و هم بری آنها با سنگهای تهنستی دگرگون شده مجاور (مرمر و دولومیت های باز تبلور یافته) به خوبی مشخص است. دایک های متعدد مونزودیوریتی تا دیوریتی و به میزانی کمتر آپلیتی، این واحد سنگی را قطع کرده اند.

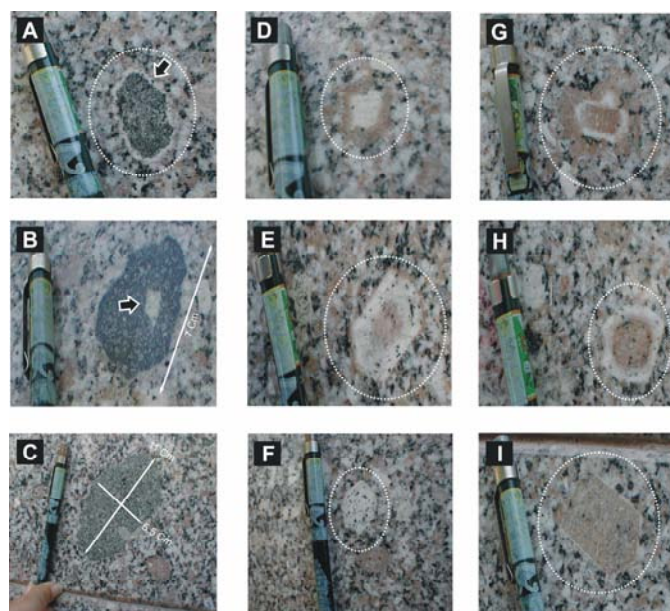


شکل ۱ نقشه ساده زمین‌شناسی ناحیه اکاپل - جنوب غربی کلاردشت [۱۳].

### ۳) اختلاط ماقمایی

در منطقه مورد مطالعه شواهد ماکروسکوپیکی و میکروسکوپیکی اختلاط ماقمایی در واحد مونزوگرانیتی توده نفوذی اکاپل مشاهده می‌شوند [۱۴]. از شواهد اختلاط ماقمایی می‌توان به وجود بافت راپاکیوی (شکل H ۲)، بافت غربالی (Sieve)، سوزنی‌های آپاتیت، آنکلاوهای میکروگرانولار مافیک (شکل A-C ۲)، و انکلوژیون‌هایی از بلورهای آمفیبول، بیوتیت، اسفن که در نمونه دستی به صورت انکلوژیون‌های تیره و ریز در بلورهای درشت پلاژیوکلاز و آلکالی فلدسپار مشاهده می‌شوند (شکل F ۲، بافت پوئی کلیتیک)، اشاره کرد. همچنین حضور توام بافت راپاکیوی و آنتی راپاکیوی نیز در نمونه مونزوگرانیتی دیده می‌شود (شکل ۲E و ۲G).

چنانکه در شکلها دیده می‌شود، کرانه‌های بلور آلکالی فلدسپار در اثر انحلال ناشی از اختلاط ماقمایی گرد شده و بلور شکل‌دار پلاژیوکلاز آن را پوشش داده است و به این ترتیب بافت راپاکیوی ایجاد شده است، و سپس در اثر دگرنهادی پتاسیک، بلور پلاژیوکلاز به وسیله آلکالی فلدسپار پوشش یافته است. نکته قابل توجه این است که در نمونه‌هایی از این قبیل،



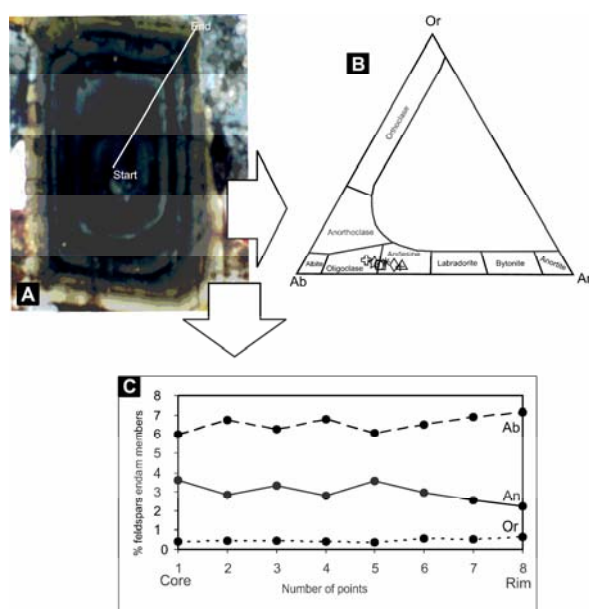
شکل ۲ (A) حاشیه واکنشی به رنگ سفید شیری بین انکلاو و مونزوگرانیت میزبان در نمونه دستی، طول آنکلاو ۲/۵ سانتیمتر می‌باشد؛ (B) بلور پلاژیوکلاز در انکلاو؛ (C) انکلاو موجود در مونزوگرانیت میزبان؛ (D) بافت آنتی راپاکیوی؛ (E) حضور توام بافت راپاکیوی و آنتی راپاکیوی؛ (F) بلور یوهدرال پلاژیوکلاز، به حضور انکلوژیون‌های دانه ریز و تیره در بلور پلاژیوکلاز دقت شود؛ (G) حضور توام بافت راپاکیوی و آنتی راپاکیوی؛ (H) بافت راپاکیوی؛ (I) بلور شکل‌دار الکالی فلدسپار در نمونه مونزوگرانیتی.

در مرکز، بلور آلکالی فلدسپار مشاهده می‌شود که با پلازیوکلاز احاطه شده و سپس این مجموعه به وسیله آلکالی فلدسپار پوشیده شده است. به عبارتی دیگر روی بافت راپاکیوی بافت آنتی راپاکیوی ایجاد شد

### ۳-۱) شواهد شیمی‌کانی

#### ۳-۱-۱) بررسی منطقه‌بندی نوسانی در پلازیوکلازها

شکل ۳ بلور پلازیوکلازی را نشان می‌دهد که مورد بررسی ریزکاو الکترونی قرار گرفته است. در این بلور هشت نقطه مورد تجزیه قرار گرفت که مسیر بررسی روی بلور در شکل مشخص شده است. با بررسی تغییرات آلبیت، آنورتیت، و ارتوز در این نمونه معلوم شده است که از نقطه ۱ (نقطه شروع) به سمت نقطه ۵ ساختار نوسانی (به طور متناوب نوسان در مقدار آلبیت و آنورتیت)، و از نقطه ۵ تا نقطه ۸ (نقطه پایان) معمولی است (افزایش آلبیت در مقابل کاهش آنورتیت، شکل ۳C).



شکل ۳ (A) زونینگ در بلور پلازیوکلاز مورد تجزیه الکترون میکروپرورب، مسیر تجزیه با خط سفید نشان داده شده است؛ (B) ترکیب زونینگ در بلور پلازیوکلاز واحد مونزوگرانیتی توده نفوذی اکاپل بر روی نمودار مثلثی Ab-Or-An؛ (C) نمودار نشان دهنده زونینگ نوسانی تا نقطه ۵ و زونینگ نرمال از نقطه ۵ تا نقطه ۸ می‌باشد (علام:  $\Delta$  نقطه ۱،  $\square$  نقطه ۲،  $\circ$  نقطه ۴،  $+$  نقطه ۵،  $*$  نقطه ۶،  $\star$  نقطه ۷،  $\star$  نقطه ۸).

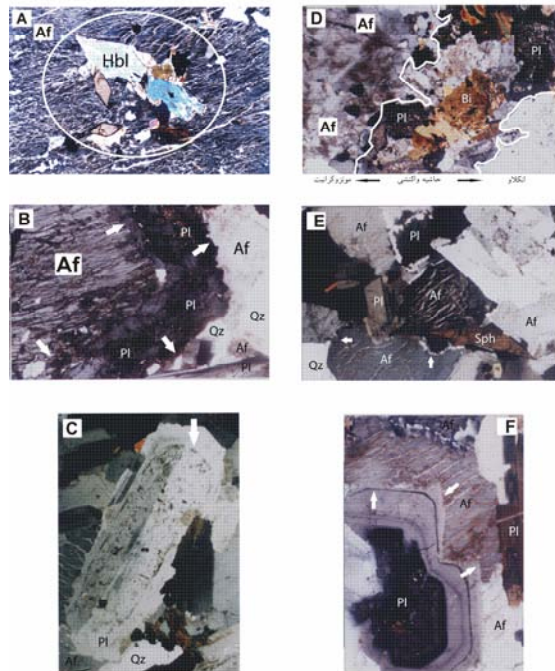
### ۳-۱-۲) بررسی بافت راپاکیوی

آلکالی فلدسپار در مقاطع میکروسکوپی بافت‌های راپاکیوی مورد مطالعه، از نوع پرتیتی بوده و دارای حاشیه گرد شده است (شکل ۴). در نمونه‌های حاوی بافت راپاکیوی مورد مطالعه، دو نسل از بلورهای آلکالی فلدسپار، پلازیوکلاز و کوارتز مشاهده می‌شود: نسل اول بلورهای آلکالی فلدسپار به صورت درشت‌دانه و با حاشیه گرد شده و بیشتر با بلور پلازیوکلاز احاطه شده‌اند (بافت راپاکیوی). نسل دوم، بلورهای آلکالی فلدسپار در زمینه مشاهده می‌شوند و ریزدانه‌اند. به نظر می‌رسد که فنوکریست‌های اولیه پلازیوکلاز (که آثار آنها به صورت هسته پلازیوکلاز در بافت غربالی بر جا مانده است) و نیز انکلوزیون‌های پلازیوکلاز موجود در آلکالی فلدسپارها، نسل اول بلورهای پلازیوکلاز را تشکیل می‌دهند. نسل دوم پلازیوکلاز نیز به صورت رشد پوششی پلازیوکلاز روی آلکالی فلدسپار (تشکیل بافت راپاکیوی) و فنوکریست پلازیوکلاز (تشکیل بافت غربالی) و نیز به صورت بلورهای ریز در زمینه حضور دارند.

برای مطالعه شیمی کانیها در یک نمونه بافت راپاکیوی، به ترتیب دو نقطه در پلازیوکلاز پوششی (نقطه ۱ حاشیه درونی پلازیوکلاز دقیقاً در مجاورت بلور آلکالی فلدسپار و نقطه ۲ در حاشیه بیرونی پلازیوکلاز پوششی)، و دو نقطه در بلور آلکالی فلدسپار (نقطه ۳ در مرکز و نقطه ۴ در حاشیه آلکالی فلدسپار دقیقاً در مجاورت پلازیوکلاز پوششی) مورد بررسی ریز کاو الکترونی قرار گرفتند (جدول ۱).

**جدول ۱** نتایج حاصل از تجزیه فلدسپارهای واحد مونزوگرانیتی توده نفوذی اکاپل توسط ریزکاو الکترونی.

	زنینگ در بلور پلازیوکلاز								بافت غربالی				انکلوزیون		بافت راپاکیوی		بافت آنتی راپاکیوی							
	الکالی				پلازیوکلاز				پلازیوکلاز		بافت راپاکیوی		الکالی		پلازیوکلاز		بافت آنتی راپاکیوی							
	۱	۲	۳	۴	۵	۶	۷	۸	۱	۲	۳	۴	۱	۲	۱	۲	۱	۲						
SiO <sub>2</sub>	۶۳,۱۱	۶۵,۳۵	۶۴,۱۹	۶۵,۵۷	۶۲,۲۷	۶۴,۹۲	۶۶,۸۳	۶۶,۲۵	۶۵,۰۲	۶۵,۳	۶۶,۰۵	۶۷,۵۹	۶۰,۱۸	۶۱,۱۳	۶۴,۶	۳۶,۷۴	۶۷,۲۸	۶۵,۲۲	۳۴,۴۸	۲۵,۶۲				
Al <sub>2</sub> O <sub>3</sub>	۲۲,۴۲	۲۱,۲	۲۲,۰	۲۱,۶۶	۲۱,۸۵	۲۱,۹۴	۲۲,۱۴	۲۰,۴۹	۲۲,۱۵	۲۱,۸۸	۲۱,۷	۲۰,۷	۲۴,۰	۲۲,۷۸	۲۲,۸	۱۷,۱۲	۲۱,۸	۲۲,۴۵	۱۸,۲۵	۱۷,۶۵				
CaO	۵,۲۴	۳,۹-۰,۵۴	۴,۸-۰,۸	۳,۹۵	۴,۹۹	۴,۱۸	۳,۸۷	۳,۰۵	۴,۲۱	۴,۰-۸	۳,۸۷	۲۶,۰۸	۶,۳۸	۴,۴۲	۴,۱	۳,۷۴	,۰,۱۳	,۰,۲	۲,۳۲	۳,۶	-۰,۰,۱	,۰,۲۸		
Na <sub>2</sub> O	۸,۳۱	۸,۹۲	۸,۶۸	۹,۲۵	۸,۱۵	۸,۸۲	۱۰,۰-۰,۵	۹,۴۱	۹,۴۴	۹,۲۶	۹,۲۸	۱۰,۰-۸	۷,۷۵	۸,۹۳	۹,۳۴	۹,۳۲	۳,۸۲	۱,۳۵	۱,۰-۴۵	۹,۶۵	۱,۲۵	۱,۷۰,۹		
K <sub>2</sub> O	,۰,۴۸	,۰-۵۲	,۰-۵۴	,۰-۵۱	,۰-۴۵	,۰-۶۷	,۰-۷۰	,۰-۷۰	,۰-۷۵	,۰-۲۵	,۰-۵۵	,۰-۶۶	,۰-۷۷	,۰-۵۱	,۰-۴	,۰-۳۷	,۱۲,۱	,۱۵,۹۱	,۰-۶۶	,۰-۴۶	,۱۶,۷۷	,۱۵,۷۲		
BaO	,۰-۰,۳	,۰-۰,۴	,۰-۱,۸	,۰-۱,۰	,۰-۰,۶	,۰-۱,۲	,۰-۰,۶	,۰-۰,۱	,۰-۰,۷	,۰-۰,۶	,۰-۰,۷	,۰-۰,۴	,۰-۰,۹	,۰-۰,۳	,۰-۰,۲	,۰-۰,۹۴	,۰-۰,۶	,۰-۱۹	,۰-۰,۱	,۱,۲	,۰,۷۷			
Total	۹۹,۵۹	۹۹,۹۴	۱۰۰,۳	۱۰,۱	۹۷,۸۷	۱۰۰,۷	۱۰,۱-۳۶	۹۹,۹۴	۱۰,۱/۱۴	۱۰,۱-۳۳	۱۰,۱-۱,۶۳	۱۰,۱-۰,۷۹	۹۹,۰-۰,۹۷	۷۵	۱۰,۱	۹۹,۶۵	۱,۰	۹۹,۱۸	۱۰,۲۷	۱,۰-۲۴	۱۰,۲,۹	۱-۱,۸		
Si	۲,۹۵	۳-۰,۵۴	۳۰	۳۰,۶۵	۲۹,۱۱	۳۰-۳۴	۳۱,۲۴	۳۰-۰,۹۷	۳۰-۳۹	۳۰-۰,۵۷	۳۰-۰,۸۷	۳۱,۵۹	۲۸,۱۲	۲۸,۰۷	۳۰-۰,۲	۳۹,۷۱	۳-۰,۶	۲۹,۷۹	۳۱,۳۵	۳۰-۰,۴۸	۳۰-۰,۱۴	۳۰,۶۷		
Al	۱,۱۲	۱۱,۲۲	۱۱,۶۸	۱۱,۴۹	۱۱,۵۶	۱۱,۶۱	۱۱,۷۲	۱۰,۸۴	۱۱,۷۲	۱۱,۵۸	۱۱,۴۸	۱۰,۹۴	۱۲,۷۲	۱۲,۰-۵	۱۲,۱	۱۱,۸	۹,۳۲	۹,۰-۶	۱۱,۰۳	۱۱,۸۸	۹,۶۵	۹,۳۴		
Ca	۳,۷۴	۲,۷۹	۳,۴۲	۲,۸۲	۳,۵۷	۲,۹۹	۲,۷۷	۲,۱۸	۳,۰-۱	۲,۹۲	۲,۷۷	۱,۸۶	۴,۵۶	۲,۱۶	۲,۹۳	۲,۶۷	,۰-۰,۹	,۱۰-۰	,۱۵	,۱۲۹	,۲,۲۴	,۰-۰,۲		
Na	۶,۱۷	۶,۶۲	۶,۴۴	۶,۶۸	۶,۰-۵	۶,۵۴	۷,۴۲	۶,۹۸	۷	۶,۹۶	۶,۸۹	۷,۴۸	۵,۰۷	۶,۶۲	۶,۹۳	۶,۹	۲,۸۷	,۱۰-۰,۴	,۸-۰,۸	,۷,۴۵	,۰-۰,۷	,۱۲۶		
Ba	,۰-۰,۳۴	,۰-۰,۳۷	,۰-۰,۱	,۰-۰,۹	,۰-۱,۴	,۰-۱-۰	,۰-۰,۶	,	,۰-۰,۶۴	,۰-۰,۶۱	,۰-۰,۶۴	,۰-۰,۴	,۰-۰,۱۲	,۰-۰,۸	,۰-۰,۲	,۰-۰,۱۹	,۰-۰,۸۴	,۰-۰,۷۷	,۰-۰,۱۷	,۰-۰,۰,۱	,۱,۴۵	,۰,۶۹		
Ab	۵۹,۸۴۵	۶۷,۲۸	۶۲,۶	۶۷,۸۰	۶۰-۰,۵۶	۶۴,۸۷	۶۸,۸۰	۶۷,۱	۶۷,۹۷	۶۸,۴۹	۶۷,۲۱	۶۷,۵۵	۷۴,۹۵	۳۲,۵۹	۶۵,۴۸	۶۸,۱	۶۸,۸۳	۲-۰,۵	۶,۹۷	۸۱,۵۶	۸۴,۸۱	۶,۲۷	۸,۷۲	
Or	۳,۸۷۹	۴,۳۷	۴,۳۶	۴,۲۵	۴,۷۰-۰,۴	۵,۰۵	۵,۳۸	۶,۴۳	۶,۴۳	۶,۰۴	۶,۴۳	۶,۴۳	۷,۰۴	۶,۴۳	۶,۴۱	۶,۴۱	۳,۲۶	۳-۰,۵	۴,۰۸	۷,۸,۸۹	۹,۱,۹۹	۵,۰۵	۳,۷۹	۹,۸,۸۸
An	۳۶,۲۷۵	۲۸,۳۵	۳۲,۲۷	۲۷,۸۹	۳۵,۷۴	۲۹,۶۳	۲۵,۷۲	۲۲,۲۶	۲۹,۴۶	۲۸,۲۳	۲۷,۱۶	۱۸,۶۴	۲۲,۵	۳۱,۲۶	۲۸,۸۲	۲۶,۶۷	,۰-۰,۵	,۱۰-۰,۴	,۱۲,۱۹	,۱۱,۱	,۰-۰,۱	,۱,۴۰,۵		



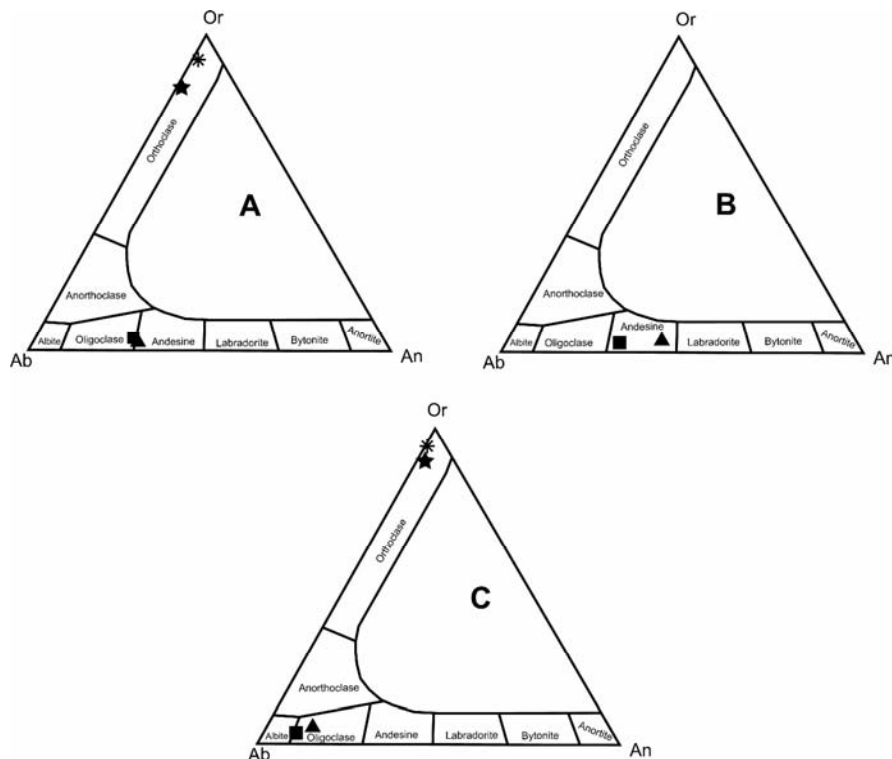
شکل ۴ (A) بافت پوئی کلیتیک در نمونه مونزوگرانیت؛ (B) بافت راپاکیوی در توده مونزوگرانیت صورتی اکاپل. مرز بین الکالی فلدسپار با پلاژیوکلاز با فلش زرد و حاشیه خارجی پلاژیوکلاز با فلش قرمز مشخص شده است بلور الکالی فلدسپار توسط پلاژیوکلاز احاطه شده است؛ (C) بافت غربالی در نمونه های مونزوگرانیت صورتی؛ (D) حاشیه واکنشی بین انکلاو میکروگرانولار مافیک با مونزوگرانیت میزبان، مرزها با خط قرمز مشخص شده اند. کانی های سازنده حاشیه واکنشی عمدتاً شامل پلاژیوکلاز، آمفیبول، بیوتیت و اسفن و با فراوانی کمتر الکالی فلدسپار و کوارتز می باشد؛ (E) حاشیه آلبیتی در وجه مشترک دو بلور الکالی فلدسپار، در این تصویر نیز در مرز بین الکالی فلدسپار با کوارتز حاشیه آلبیتی مشاهده نمی شود (نمونه مورد مطالعه مربوط به مونزوگرانیت گل بزان است)؛ (F) بافت آنتی راپاکیوی در نمونه مونزوگرانیت، مرزها با فلش زرد و فلش قرمز مشخص شده است (نور Lp و بزرگنمایی ۲۵ برابر) (Pl = پلاژیوکلاز، Af = الکالی فلدسپار، Qz = کوارتز، Sph = اسفن، Bi = بیوتیت، Hbl = هورنبلند).

نتایج تجزیه ریزکاو الکترون آلکالی فلدسپار نشان دهنده ترکیب  $Ab_{20.46} Or_{78.89} An_{0.65}$  برای نقطه ۳ و ترکیب  $Ab_{6.97} Or_{91.99} An_{1.04}$  برای نقطه ۴ است (شکل ۵). نقطه ۱ در حاشیه درونی پلاژیوکلاز پوششی دقیقاً در مجاورت بلور آلکالی فلدسپار با ترکیب  $Ab_{68.14} Or_{3.04}$  و نقطه ۲ در حاشیه بیرونی پلاژیوکلاز پوششی با ترکیب  $Ab_{68.83} Or_{4.5} An_{26.67}$  در گستره آندزین و الیگوکلاز قرار می گیرند.

پلازیوکلاز پوششی در بافت راپاکیوی دارای ترکیب مشابه با ترکیب حواشی بلور پلازیوکلاز دارای زونینگ ( $\text{Ab}_{68.9} \text{Or}_{5.38} \text{An}_{25.72}$ )، پلازیوکلاز دارای بافت غربالی ( $\text{Ab}_{67.55} \text{Or}_{5.29}$ ) و انکلوژیونهای پلازیوکلاز موجود در آلکالی فلدسپار ( $\text{Ab}_{65.48} \text{Or}_{3.26} \text{An}_{31.26}$ ) است. [۱۹] بر این باورند که ترکیب مشابه حواشی بلورهای پلازیوکلاز گویای پایان تلاطم ماقمایی و در نتیجه سدیک ترشدن ترکیب ماقمایی در پایان رخداد اختلاط ماقمایی است.

### ۳-۱-۳) بررسی بافت پوئی کلیتیک

از موارد جالب دیگر وجود بافت پوئی کلیتیک در سنگهای مورد مطالعه است (شکل ۴). در این بافت بلورهای درشت آلکالی فلدسپار و پلازیوکلاز، بلورهای زودتر شکل بافت اسفن، هورنبلنده، بیوتیت، زیرکن و پلازیوکلاز را در برگرفته اند. از میان انکلوژیونهای پلازیوکلازهای درون آلکالی فلدسپار، یک نمونه انتخاب و در آن دو نقطه (در مرکز و در حاشیه بلور) مورد

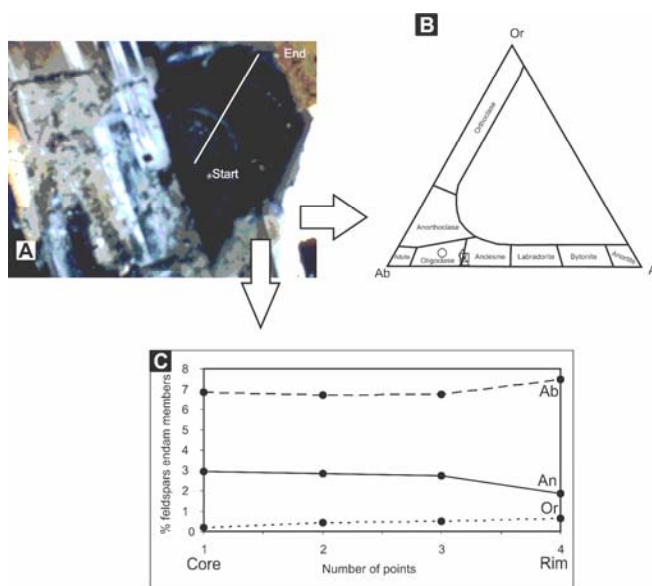


شکل ۵ (A) ترکیب شیمیایی فلدسپارها در (A) بافت راپاکیوی؛ (B) انکلوژیون پلازیوکلاز موجود در آلکالی فلدسپار؛ (C) بافت آنتی راپاکیوی در واحد مونزوگرانیتی توده نفوذی اکاپل (علام: ▲ نقطه ۱، ■ نقطه ۲) در پلازیوکلاز و (★ نقطه ۳، ★ نقطه ۴) در آلکالی فلدسپار.

بررسی ریزکاو الکترونی قرار گرفتند. نتایج حاصل نشان دهنده ترکیب  $Ab_{53.59} Or_{3.91} An_{42.50}$  برای مرکز و ترکیب  $Ab_{65.48} Or_{3.26} An_{31.26}$  برای حاشیه پلازیوکلاز مورد بررسی است که از نظر ترکیبی در نمودار مثلثی Ab-Or-An در گستره آندزین قرار می‌گیرند. بر اساس این نتایج، هسته پلازیوکلاز انکلوزیون از حاشیه بلور کلسیک‌تر است.

### (Sive) ۳-۱-۴) بررسی بافت غربالی

بلور پلازیوکلاز با بافت غربالی مورد تجزیه ریزکاو الکترون قرار گرفت (شکل ۶). مسیر تجزیه در چهار نقطه بلور روی این شکل و ترکیب آنها در نمودار مثلثی Ab-Or-An نشان داده شده است. چنانکه ملاحظه می‌شود نقطه ۱ (نقطه شروع در مرکز بلور) دارای ترکیب  $Ab_{68.49}$  در گستره آندزین، نقطه ۲ (پیش از زون خورده شده) با ترکیب  $Ab_{67.31} Or_{4.36}$  روی خط مشترک گستره آندزین و الیگوکلاز، نقطه ۳ (پس از زون خورده شده) با ترکیب  $Ab_{67.55} Or_{5.29} An_{27.16}$  نزدیک به خط مشترک گستره آندزین و الیگوکلاز و نقطه ۴ (در حاشیه بلور) با ترکیب  $Ab_{74.95} Or_{6.41} An_{18.64}$  در گستره الیگوکلاز قرار می‌گیرد.



شکل ۶ (A) بافت غربالی در بلور پلازیوکلاز مورد تجزیه الکترون میکروپرورب مسیر تجزیه با خط سفید نشان داده شده است، نور Lp و بزرگنمایی ۲۵ برابر؛ (B) تغییرات ترکیبی بافت غربالی در بلور پلازیوکلاز واحد مونزو-گرانیتی توده نفوذی اکاپل بر روی نمودار مثلثی Ab-Or-An؛ (C) تا نقطه ۳ در نمودار تغییری مشاهده نمی‌شود اما از نقطه ۳ تا ۴ افزایش Ab همراه با کاهش An و افزایش اندک در Or مشاهده می‌گردد (علام:  $\triangle$  نقطه ۱،  $\square$  نقطه ۲،  $\diamond$  نقطه ۳،  $\circ$  نقطه ۴).

### ۳-۱-۵) شیمی بیوتیت‌ها

نتایج حاصل از تجزیه ریزکاو الکترونی ۱۵ نمونه از بیوتیت‌های واحد مونزوگرانیتی، توده نفوذی اکاپل در جدول ۲ آورده شده است. [۲۰] با توجه به تغییرات Al و Fe+Mg (Fe/Mg > ۰,۳۹۲) میکاهای چارگوش آنیت(Annite)، سیدروفیلیت(Siderophylite)، فلوجوپیت(Phlogopite) و ایستونیت(Eastonite) را به صورت ASPE را به نشان دادن ترکیب این کانیها پیشنهاد کرد. از این نمودار به ویژه برای تشخیص پرآلومینیومی (با توجه به مقدار Al) سنگ میزان بیوتیت می‌توان بهره گرفت.

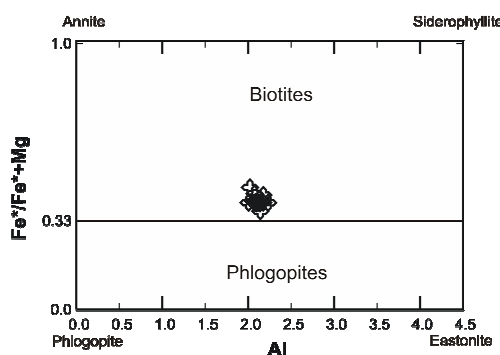
میکاهای انواع سنگهای مورد مطالعه در نمودار ASPE و در شکل (۷) ارائه شده‌اند. بنابر این نمودار، بیوتیت‌های تجزیه شده با داشتن  $Al > Fe + Mg$  در گستره بیوتیت با اندک تمایلی به سمت قطب آنیت قرار می‌گیرند. همچنین [۲۱] نیز طرح دیگری در رده‌بندی واحدهای مختلف گرانیتی با تولیت کالیفرنیا با استفاده از شیمی بیوتیت و آمفیبیول ارائه کردند. بنا بر این رده‌بندی گرانیت‌ها به چهار گروه به شرح زیر تقسیم می‌شوند.

**جدول ۲** نتایج الکترون میکروپرورب نمونه‌های میکاهای واحد مونزوگرانیتی توده نفوذی اکاپل، تعداد کاتیونها به ازای ۲۲ اکسیژن محاسبه شده است

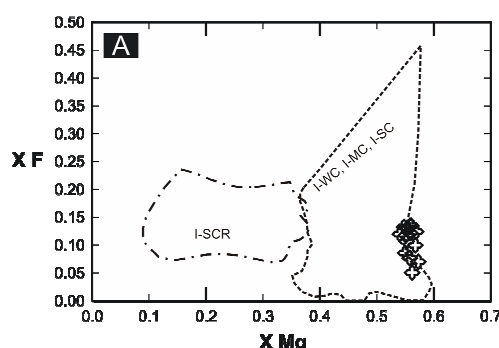
	A1	A2	A3	A5	A6	A7	A8	A9	A10	A11	A12	A13	A14	A15
SiO <sub>2</sub>	۳۸,۸۹	۳۸,۶	۳۸,۷	۳۷,۶	۳۸,۱	۳۷,۲	۳۷,۴۵	۳۷,۳۳	۳۷,۳۵	۳۸	۳۷,۹۵	۳۸,۰۵	۳۷,۶۷	۳۷,۴۱
TiO <sub>2</sub>	۳,۷۷	۳,۷۶	۲,۲۱	۳,۹۹	۳,۹۷	۳,۹۹	۳,۹۶	۴,۸	۴,۱۱	۳,۱۳	۳,۹	۴,۱۴	۳,۹۱	۴,۱۲
Al <sub>2</sub> O <sub>3</sub>	۱۲,۵۲	۱۱,۸۲	۱۱,۸۲	۱۲,۳۶	۱۲,۳۲	۱۲,۸۱	۱۲,۶۲	۱۲,۶۴	۱۲,۶۵	۱۲,۴۵	۱۲,۷۵	۱۲,۶۳	۱۲,۹۸	۱۲,۱۶
FeO*	۱۶,۵۱	۱۶,۵۵	۱۶,۳۵	۱۵,۶۲	۱۶,۲۹	۱۶,۲۵	۱۶,۵۷	۱۵,۴۵	۱۶,۱۷	۱۶,۳۱	۱۴,۹۸	۱۶,۸۱	۱۶,۹۰	۱۶,۷۵
MnO	۰,۳	۰,۳۱	۰,۲۲	۰,۳۳	۰,۳۱	۰,۳۳	۰,۳۵	۰,۳۷	۰,۳۸	۰,۳۸	۰,۳۷	۰,۳۲	۰,۳۷	۰,۳۷
MgO	۱۳,۸۲	۱۴,۲	۱۴	۱۳,۴۵	۱۳,۶۴	۱۴,۵۵	۱۴,۰۵	۱۳,۲۵	۱۱,۶۸	۱۴,۰	۱۳,۹۹	۱۴,۱۱	۱۴,۱۳	۱۲,۷۷
Na <sub>2</sub> O	۰,۱۹	۰,۱۹	۰,۱۹	۰,۲	۰,۲	۰,۲۳	۰,۲۲	۰,۲۳	۰,۲۳	۰,۲	۰,۲۲	۰,۲۱	۰,۲۳	۰,۲۵
K <sub>2</sub> O	۱۱,۰۱	۱۱,۰۳	۱۰,۹۲	۱۰,۸۹	۱۰,۷۸	۱۰,۷۸	۱۰,۸۱	۱۰,۸	۱۰,۷۷	۱۰,۸۸	۱۰,۸۵	۱۰,۹۹	۱۰,۸۷	۱۰,۶۱
F	۱,۲۲	۱,۴۵	۱,۰۱	۰,۹۸	۱,۰۸	۱,۲۷	۱,۳۱	۱,۴۳	۰,۹۹	۰,۷۸	۰,۶۹	۱,۱۹	۰,۶۹	۰,۹۵
Total	۹۸,۲۳	۳۲	۹۶,۵۲	۹۵,۴۲	۹۶,۷۱	۹۷,۴۱	۹۷,۳۴	۹۶,۴۰	۹۴,۳۳	۹۶,۱۸	۹۵,۷۰	۹۸,۴۵	۹۷,۷۴	۹۶,۲۹
Si	۵,۴۶	۵,۴۹	۵,۵۰	۵,۳۵	۵,۳۹	۵,۳۱	۵,۳۴	۵,۳۰	۵,۳۱	۵,۴۰	۵,۳۵	۵,۳۶	۵,۳۱	۵,۳۷
Ti	۰,۴۰	۰,۴۰	۰,۲۴	۰,۴۳	۰,۴۲	۰,۴۳	۰,۴۲	۰,۵۱	۰,۴۴	۰,۳۳	۰,۴۱	۰,۴۳	۰,۴۱	۰,۴۴
Al	۲,۰۷	۱,۹۸	۱,۹۸	۲,۰۷	۲,۰۵	۲,۱۵	۲,۱۲	۲,۱۱	۲,۱۲	۲,۰۹	۲,۱۲	۲,۰۹	۲,۱۵	۲,۰۵
Fe 2+	۱,۶۵	۱,۶۷	۱,۶۷	۱,۶۷	۱,۶۶	۱,۶۸	۱,۶۸	۱,۶۷	۱,۶۷	۱,۶۶	۱,۶۵	۱,۶۶	۱,۶۸	
Fe 3+	۰,۲۹	۰,۲۹	۰,۲۹	۰,۲۷	۰,۲۸	۰,۲۹	۰,۲۹	۰,۲۷	۰,۲۸	۰,۲۹	۰,۲۶	۰,۲۹	۰,۲۹	۰,۲۹
Mn	۰,۰۴	۰,۰۴	۰,۰۴	۰,۰۴	۰,۰۴	۰,۰۴	۰,۰۴	۰,۰۴	۰,۰۴	۰,۰۴	۰,۰۴	۰,۰۳	۰,۰۴	۰,۰۴
Mg	۲,۹۵	۲,۹۹	۲,۹۹	۲,۹۹	۲,۹۸	۳,۰۰	۳,۰۰	۲,۹۸	۲,۹۹	۲,۹۹	۲,۹۶	۲,۹۶	۲,۹۷	۲,۹۴
Na	۰,۱۶	۰,۱۶	۰,۱۶	۰,۱۶	۰,۱۶	۰,۱۶	۰,۱۶	۰,۱۶	۰,۱۶	۰,۱۶	۰,۱۶	۰,۱۶	۰,۱۶	۰,۱۶
K	۱,۹۷	۱,۹۹	۱,۹۹	۲,۰۰	۱,۹۸	۲,۰۰	۲,۰۰	۱,۹۹	۱,۹۹	۱,۹۹	۱,۹۸	۱,۹۷	۱,۹۵	۱,۹۴
F	۰,۵۳	۰,۵۴	۰,۵۴	۰,۵۴	۰,۵۳	۰,۵۴	۰,۵۴	۰,۵۳	۰,۵۳	۰,۵۴	۰,۵۳	۰,۵۳	۰,۳۱	۰,۴۳
OH	۱,۸۵۰	۱,۸۷۵	۱,۸۷۴	۱,۸۷۶	۱,۸۶۶	۱,۸۸۰	۱,۸۷۹	۱,۸۷۱	۱,۸۷۳	۱,۸۷۵	۱,۸۵۸	۱,۸۵۰	۱,۹۹۰	۱,۹۱۰

۱- گرانیتهای نوع I با آلودگی اندک = I-WC  
 ۲- گرانیتهای نوع I با آلودگی متوسط = I-MC  
 ۳- گرانیتهای نوع I با شدت آلوده = I-SC  
 ۴- گرانیتهای نوع I احیایی به شدت آلوده = CR

I type granite  
 در اینجا واژه آلودگی دارای مفهوم وسیعی است و کلیه واکنشهای تحت تاثیر قرار دهنده ماقماهای نوع I مشتق از گوشهٔ فوقانی، پوسته عمیق و یا لیتوسفر فرورونده به علت ذوب بخشی، اختلاط ماقمایی و یا هضم را در بر می‌گیرد. نتایج حاصل از تجزیه بیوتیت‌های مورد مطالعه در این نمودار و در گسترهٔ I-SC یعنی گرانیتهای نوع I به شدت آلوده قرار می‌گیرند (شکل ۸).



شکل ۷ ترکیب شیمیایی میکاهای واحد منزوگرانیتی توده نفوذی اکاپل در رده‌بندی [۲۰]



شکل ۸ ترکیب بیوتیت‌های واحد منزوگرانیتی توده نفوذی اکاپل بر روی نمودارهای آگو و بریمهال [۲۱]. علائم: I-WC گرانیتهای نوع I با آلودگی اندک؛ I-MC گرانیتهای نوع I دارای آلودگی متوسط؛ I-SC گرانیتهای نوع I به شدت آلوده.

### ۶-۱-۳) شیمی آمفیبول

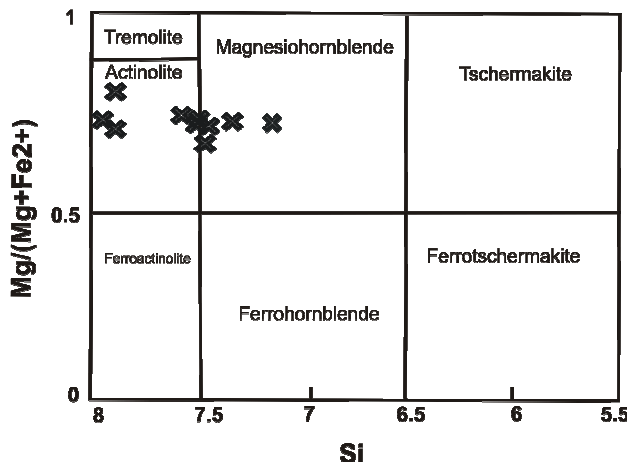
تعداد ۱۰ نمونه از آمفیبول‌های واحد مونزوگرانیتی مورد بررسی ریزکاو الکترونی قرار گرفته‌اند (جدول ۳). به منظور نامگذاری آمفیبول‌ها از ردبندی [۲۲] استفاده شد. بنابر این ردبندی (شکل ۹)، کلیه آمفیبول‌های تجزیه شده با داشتن  $B_{\text{Ca}+\text{Na}} > 1/14$  در گروه آمفیبول‌های کلسیک و در زیر گروه منیزیوهرونبلند و اکتینولیت قرار می‌گیرند. مقدار  $\text{Log} \left( \frac{X_{\text{Mg}}}{X_{\text{Fe}}} \right)$  آمفیبول‌ها نیز مانند بیوتیت‌ها در طیف گسترهای (از ۰۴۶ - تا ۱۶۹) تغییر می‌کنند.

### ۴) شواهد شیمی سنگ

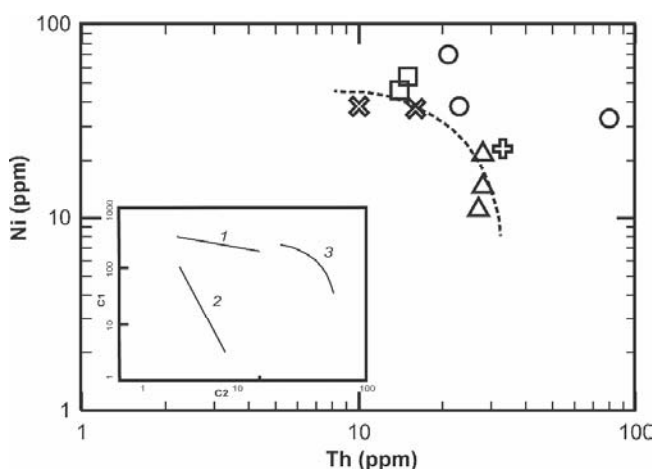
[۲۳] با استفاده از نمودارهای لگاریتمی عناصر کمیاب ناسازگار (مانند Th, Rb و Zr) در مقابل عناصر سازگار (مانند V, Ni...) تلاش کرد تا فرایندهای ذوب بخشی، تبلور بخشی و اختلاط ماقمایی را از یکدیگر تشخیص دهد. در این بررسی نیز برای تشخیص این فرایندها در منطقه مورد مطالعه از نمودار  $\text{Log Ni} - \text{Log Th}$  استفاده شده است (شکل ۱۰). چنانکه ملاحظه می‌شود روند تغییرات نمونه‌های مورد مطالعه با روند اختلاط ماقمایی سازگاری دارد.

جدول ۳ نتایج الکترون میکروپرورب آمفیبول‌های واحد مونزوگرانیتی توده نفوذی اکاپل

	A1	A2	A3	A4	A5	A6	A7	A8	A9	A10
$\text{SiO}_2$	۴۸,۱۵	۵۰	۴۸,۹۹	۵۰,۱۱	۴۸	۵۱,۱۸	۵۲,۰۲	۵۴,۱۵	۵۵,۱۹	۴۹,۰۱
$\text{TiO}_2$	۱,۱۳	۱,۱۱	۱,۱۲	۱,۰۹	۱,۰۸	۱,۰۶	۰,۸۵	۰,۱۸	۰,۱۱	۱,۱۳
$\text{Al}_2\text{O}_3$	۵,۸۸	۳,۰۲	۴,۲۴	۳,۸۹	۲,۸۷	۳,۸۲	۲,۰۸	۲,۵۳	۱,۵۱	۵,۲۳
$\text{FeO}$	۱۳,۴	۱۲,۸۹	۱۲,۰۱	۱۲,۹۹	۱۳,۸۵	۱۲,۷۸	۱۲,۰۱	۱۱,۳۱	۱۰,۳۹	۱۳,۰۷
$\text{MnO}$	۰,۴۰	۰,۴۴	۰,۴۲	۰,۴۳	۰,۴۷	۰,۵۱	۰,۵۷	۰,۶۲	۰,۷۵	۰,۴۲
$\text{MgO}$	۱۳,۷	۱۴,۲۱	۱۴,۰۷	۱۳,۹۸	۱۳,۱۵	۱۴,۱۷	۱۵,۰۷	۱۴,۸۲	۱۶,۷۳	۱۴,۰۹
$\text{CaO}$	۱۱,۰۱	۱۱,۱۸	۱۱,۱۳	۱۱,۱۶	۱۱,۱۸	۱۱,۲۲	۱۱,۷	۱۱,۱	۱۲,۳۶	۱۱,۱۴
$\text{Na}_2\text{O}$	۱,۸۲	۱,۶۱	۱,۶۵	۱,۶۳	۱,۶۱	۱,۰۳	۱,۴۸	۰,۳۵	۰,۳	۱,۶۴
$\text{K}_2\text{O}$	۰,۸۱	۰,۷۱	۰,۷۵	۰,۷۳	۰,۶۹	۰,۷۲	۰,۶۵	۰,۱۲	۰,۱۱	۰,۷۶
F	۱,۸۱	۱,۸۷	۱,۸۲	۱,۹۰	۱,۸۲	۱,۸۵	۱,۷۹	۱,۰۱	-۴۶۵	۰,۵۷
Total	۹۸,۱	۹۸,۲۵	۹۷,۲	۹۷,۹۱	۹۴,۹۷	۹۸,۸۴	۹۹,۲۲	۹۶,۱۹	۹۲,۷۷	۹۶,۹۰
Si	۷,۱۴	۷,۴۹	۷,۳۳	۷,۴۴	۷,۴۵	۷,۵۰	۷,۵۷	۷,۹۴	۷,۸۷	۳,۹۳
Ti	۰,۱۳	۰,۱۳	۰,۱۳	۰,۱۲	۰,۱۳	۰,۱۲	۰,۰۹	۰,۰۲	۰,۰۱	۰,۰۱
Al	۱,۰۲	۰,۵۳	۰,۷۴	۰,۶۸	۰,۵۲	۰,۶۶	۰,۵۲	۰,۴۳	۰,۲۵	۰,۱۲
$\text{Fe}^{2+}$	۱,۵۱	۱,۶۰	۱,۵۴	۱,۵۹	۱,۸۸	۱,۰۵	۱,۴۸	۱,۵۵	۱,۲۲	۰,۶۱
$\text{Fe}^{3+}$	۰,۱۵	۰,۰۲	۰,۱۹۲	۰,۰۲	۰,۰	۰,۰۰۷	۰,۰	۰,۰	۰,۰۲	۰,۰۱
Mn	۰,۰۵	۰,۰۶	۰,۰۵	۰,۰۵	۰,۰۶	۰,۰۶	۰,۰۷	۰,۰۸	۰,۰۹	۰,۰۵
Mg	۳,۰۳	۳,۱۸	۳,۱۴	۳,۰۹	۳,۰۵	۳,۰۹	۲,۲۷	۳,۲۴	۳,۵۶	۱,۷۸
Ca	۱,۷۵	۱,۸۰	۱,۷۸	۱,۷۸	۱,۸۶	۱,۷۶	۱,۸۲	۱,۷۴	۱,۸۹	۰,۹۵
Na	۰,۵۲	۰,۴۷	۰,۴۸	۰,۴۷	۰,۴۹	۰,۴۲	۰,۴۲	۱,۱۰	۰,۰۸	۰,۰۴
K	۰,۱۵	۰,۱۴	۰,۱۴	۰,۱۴	۰,۱۴	۰,۱۲	۰,۱۲	۰,۰۲	۰,۰۲	۰,۰۱
F	۰,۹۰	۰,۹۳	۰,۹۱	۰,۹۵	۰,۹۱	۰,۹۲	۰,۹۲	۰,۸۹	۰,۵۰	-۲,۰۹
OH	۱,۰۹۷	۱,۱۳۷	۱,۱۰۷	۱,۱۸۲	۱,۱۱۲	۱,۱۲۲	۱,۰۸۷	۱,۴۱۹	۱,۱۰۲	۰,۹۰۸



شکل ۹ طبقه‌بندی آمفیبول‌های واحد مونزوگرانیتی اکاپل در رده‌بندی [۲۲].



شکل ۱۰ نمودار لگاریتمی عناصر سازگار در مقابل عناصر ناسازگار برای نمونه‌های مورد مطالعه، LogNi-LogTh همانطور که مشاهده می‌شود روند تغییرات نمونه‌های مورد مطالعه مشابه منحنی شماره ۳ می‌باشد که گویای این امر است که اختلاط ماقمایی نقش موثری در تشکیل توده نفوذی اکاپل داشته است؛ نمودار کوشیری [۲۳] منحنی شماره ۱ نشان دهنده ذوب بخشی، منحنی شماره ۲ نشان دهنده تبلور بخشی و منحنی شماره ۳ نشان دهنده اختلاط ماقمایی می‌باشند. برای توضیحات بیشتر به متن مراجعه شود (علائم  $\square$  گرانودیوریت،  $\Delta$  مونزوگرانیت،  $\circ$  مونزونیت-کوارتز-مونزونیت،  $\blacksquare$  مونزودیوریت،  $\times$  انکلاوهای میکروگرانولار مافیک).

## ۵- بحث و بررسی

## ۵-۱- اختلاط و آلوودگی ماگمایی

منطقه‌بندی نوسانی (شکل ۳)، بافت راپاکیوی (شکل H ۲)، بافت غربالی (شکل ۶)، آپاتیت‌های سوزنی شکل (شکل ۴)، بافت پوئی کلیتیک (شکل F ۲)، بافت آنتی راپاکیوی (شکل ۲D)، حاشیه آلبیتی در اطراف فلدسپارها (شکل ۴E)، و آنکلاوهای میکروگرانولار بازیک (شکل D ۴)، از مهمترین ویژگی‌های نمونه‌های مورد مطالعه بوده‌اند. به اعتقاد [۲۴] منطقه‌بندی نوسانی و سپس منطقه‌بندی معمولی در بلور پلازیوکلاز می‌تواند در اثر تغییر ترکیب ماگما در مراحل مختلف رشد بلور حاصل شود؛ به عبارت دیگر در نتیجه رشد پلازیوکلاز بعدی بر بلور پلازیوکلاز در ماگمای در حال تغییر شیمیایی، منطقه‌بندی نوسانی شکل می‌گیرد، زیرا در این شرایط، بلور به بخش‌هایی که دارای ترکیب کلسیک‌تری هستند منتقل شده و در نتیجه پلازیوکلاز کلسیک‌تر روی بلور قبلی رشد می‌کند. از طرفی از آنجا که ماگما به علت اختلاط ماگمایی در حال تغییر شیمیایی، است لذا وقتی بلور یاد شده به بخش‌های سدیک‌تر ماگما می‌رسد پلازیوکلاز سدیک‌تر روی بلور رشد می‌یابد. این چرخه چندین بار تکرار می‌شود و درنتیجه بلور پلازیوکلاز با منطقه‌بندی نوسانی شکل می‌گیرد. سرانجام زمانی فرا می‌رسد که ماگما به تعادل شیمیایی و دینامیکی می‌رسد، در این هنگام روند تبلور به گونه‌ای پیش می‌رود که ترکیب ماگما سدیک تر می‌شود و پلازیوکلاز سدیک تر بلور قبلی را پوشش می‌دهد و در نتیجه هسته بلور پلازیوکلاز با منطقه‌بندی نوسانی با حاشیه‌ای با منطقه‌بندی معمولی تشکیل می‌شود.

بافت راپاکیوی می‌تواند در اثر اختلاط ماگمایی و یا دگرنهادی تشکیل شود. یکی از مشخصات مهم بافت راپاکیوی در نمونه‌های مورد مطالعه گردش‌گی فنوکریستهای آلکالی فلدسپار پوششی است. در واحد مونزوگرانیتی مورد مطالعه، بافت راپاکیوی نمی‌تواند در اثر دگرنهادی تشکیل شده باشد، زیرا گردشدن آلکالی فلدسپار به ویژه کرانه‌ها با دگرنهادها ارتباطی ندارند و درنتیجه انحلال ناشی از افزایش دما در اثر اختلاط ماگمای بازیک با ماگمای اسیدی اولیه حاصل شده است [۱۹ و ۲۵].

نتایج حاصل از ریزکاو الکترونی دو نمونه پلازیوکلاز حاوی منطقه‌بندی و بافت غربالی را نشان می‌دهند که در هر دو بلور پلازیوکلاز (با منطقه‌بندی غربالی) حاشیه بلور نسبت به هسته آن ترکیب سدیک‌تری دارد. در شکل ۶ تغییرات آلبیت، آنورتیت و ارتوز در یک نمونه با بافت غربالی از نقطه ۱ (نقطه آغاز) به سمت نقطه ۴ ( HASHIYE بلور) بررسی شد. چنانکه مشاهده می‌شود از نقطه ۳ تا نقطه ۴ درصد آلبیت افزایش، ولی درصد آنورتیت کاهش می‌یابد و یک منطقه‌بندی معمولی را به نمایش می‌گذارد که می‌تواند نشان دهنده تعادل شیمیایی و

دینامیکی ماقما طی رویداد اختلاط ماقمایی باشد [۱۹ و ۲۴]. به اعتقاد این پژوهشگران، طی اختلاط ماقمایی، در اثر تفاوت دمایی بین ماقمای اسیدی و بازیک، پلازیوکلاز دستخوش شوک گرمایی شده و کرانه‌ها و بخش‌های درونی آن ذوب می‌شوند، بخش‌های ذوب شده به علت نداشتن زمان کافی برای تبلور، به صورت شیشه در آمده و سپس بخش‌های خورده شده در اثر واکنش با ماقما کلسیک تر می‌شوند، و به این ترتیب بخش‌های خورده شده کرانه‌ها باشد پلازیوکلاز کلسیک تر، پلازیوکلاز سدیک تر را می‌پوشاند و بافت غربالی و منطقه‌بندی تشکیل می‌شود [۶ و ۲۶].

آپاتیت سوزنی به همراه انواع دانه‌ای آن، به فراوانی در نمونه‌های مورد مطالعه مشاهده می‌شود که می‌تواند به عنوان یکی دیگر از شواهد اختلاط ماقمایی در نظر گرفته شود. به اعتقاد بسیاری از محققین (به عنوان مثال: [۱، ۶، ۱۸ و ۲۷]) بلورهای سوزنی شکل آپاتیت از تبلور و سرد شدن سریع و موضعی ماقمایی مافیک داغ آمیخته با ماقمایی فلزیک نسبتاً سرددتر در طول اختلاط ناشی می‌شوند.

انکلاوهای میکروگرانولار که از سنگهای در برگیرنده خود به واسطه رنگ تیره‌تر، بافت ریزدانه، و مرز مشخص از سنگ میزبان خود قابل تشخیص‌اند [۱۴] نیز از دیگر شواهد اختلاط ماقمایی به حساب می‌آیند (به عنوان مثال: [۱ و ۲۸ تا ۳۱]). در نمونه‌های دستی در مرز بین انکلاو و سنگ در برگیرنده کرانه واکنشی به رنگ سفید شیری مشاهده می‌شود (شکل ۲A) که ضخامت آن تا حدود دو میلیمتر نیز می‌رسد (شکل D)، که نشان دهنده محلی است که اختلاف دما برای سرد شدن سریع ماقمای مافیک به اندازه کافی زیاد بوده است، بنابراین می‌تواند به عنوان معیار اولیه اختلاط بین دو ماقما در نظر گرفته شود. به علاوه اختلاف دمای موجود بین دو ماقما، حاشیه‌های سریعاً سرد شده و بافت ریزدانه انکلاوهای ماقمایی مافیک را توجیه می‌کند.

از طرف دیگر مقایسه ترکیب بیوتیت‌ها و آمفیبولهای مورد مطالعه با باتولیت گرانیت‌وئیدی کالیفرنیا [۲۱] نشان می‌دهند که این نمونه‌ها در گستره I-SC یعنی گرانیت‌های نوع I به شدت آلوده قرار می‌گیرند. این آلودگی می‌تواند به دلیل اختلاط ماقمایی و یا آلایش ماقما با مواد پوسته‌ای حاصل شده باشد [۲۱] که در مورد منطقه مورد مطالعه با توجه به شواهد دیگر اختلاط ماقمایی محتمل‌تر است.

#### ۲-۵) دگرنهادی

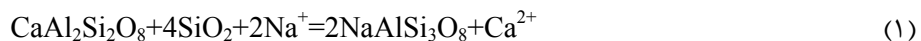
مهمنترین شواهد دگرنهادی در منطقه مورد مطالعه بافت آنتی راپاکیوی (شکل F) و کرانه‌های آلبیتی پیرامون بلورهای پلازیوکلاز (شکل E) است. بافت آنتی راپاکیوی ممکن است در

اثر دگرنهادی و یا اختلاط ماقمایی تشکیل شود. در واحد مونزوگرانیتی توده نفوذی اکاپل، بافت آنتی راپاکیوی در نتیجه اختلاط ماقمایی حاصل نشده است، زیرا در شرایطی که بافت راپاکیوی در نتیجه اختلاط ماقمایی در حال تشکیل است، بافت آنتی راپاکیوی تشکیل نخواهد شد [۳ و ۱۹]. همچنین روند منفی  $\text{Na}_2\text{O}-\text{SiO}_2$  برای نمونه‌های مورد مطالعه احتمالاً در ارتباط با دگرنهادی پتاسیک همراه با حذف سدیم است، زیرا این نمونه‌ها از مقادیر  $\text{Rb}$ ,  $\text{K}_2\text{O}$ ,  $\text{Nb}$  غنی و از  $\text{Na}_2\text{O}$ ,  $\text{CaO}$ ,  $\text{MgO}$ ,  $\text{P}_2\text{O}_5$ ,  $\text{TiO}_2$ ,  $\text{V}$  و  $\text{Sr}$  نهی شده‌اند (جدول ۴). بررسی شیمی کانی‌ها در این بافت نیز مؤید این مدعاست که به عنوان مثال در یک نمونه بافت آنتی راپاکیوی (شکل C) به ترتیب دو نقطه در پلازیوکلاز (نقطه ۱ در مرکز و نقطه ۲ در حاشیه پلازیوکلاز دقیقاً در کنار آلکالی فلدسپار پوششی) و دو نقطه در بلور آلکالی فلدسپار (نقطه ۳ حاشیه درونی آلکالی فلدسپار دقیقاً در کنار بلور پلازیوکلاز و نقطه ۴ در حاشیه بیرونی آلکالی فلدسپار پوششی) مورد بررسی ریزکاو الکترونی قرار گرفت که نتایج آن در جدول ۱ و شکل C تصویر شده‌اند. این نتایج نشان دهنده ترکیب  $\text{Ab}_{81.56}\text{Or}_{5.55}\text{An}_{12.89}$  ( $\text{Aligo}$ -کلاز متمایل به آلبیت) برای نقطه ۱، ترکیب  $\text{Ab}_{84.81}\text{Or}_{3.79}\text{An}_{11.40}$  (خط مشترک گستره  $\text{Aligo}$ -کلاز و آلبیت) برای نقطه ۲، ترکیب  $\text{Ab}_{8.72}\text{Or}_{89.88}\text{An}_{1.40}$  برای نقطه ۳، و ترکیب  $\text{Ab}_{6.27}\text{Or}_{93.73}$  برای نقطه ۴ (ارتوكلاز) برای نقطه ۴ است.

چنانکه که ملاحظه می‌شود هسته بلور پلازیوکلاز (نقطه ۱) نسبت به حاشیه بلور پلازیوکلاز (نقطه ۲) ترکیب سدیکتری دارد که برخلاف روند معمول مشاهده شده در بلورهای پلازیوکلاز واحد مونزوگرانیتی مورد مطالعه است زیرا چنانکه پیش از این گفته شد حاشیه‌های بلورهای پلازیوکلاز (در بافت غربالی، انکلوزیونهای پلازیوکلاز موجود در آلکالی فلدسپار و پلازیوکلاز با منطقه‌بندی) نسبت به هسته بلور ترکیب سدیکتری نشان می‌دهند. لذا ترکیب سدیکتر هسته نسبت به حاشیه بلور پلازیوکلاز در بافت آنتی راپاکیوی احتمالاً طی دگرنهادی به تدریج سدیکتر شده است، (شکل C). ولی نکته جالب این است که نقطه ۴ نسبت به نقطه ۳ سازنده ارتوز بیشتری دارد و نیز مقدار سازنده آنورتیت نقطه ۳ برابر با  $1/40.5$  درصد و نقطه ۴ بدون آنورتیت است. چنانکه ملاحظه می‌شود نقطه ۴ نسبت به نقطه ۳ دارای سازنده آلبیت کمتری است، زیرا طی واکنش ۲ (چنانکه در ادامه خواهیم دید) آلبیت با از دست دادن سدیم و گرفتن پتاسیم به ارتوز تبدیل می‌شود، به همین دلیل نیز نقطه ۳ نسبت به نقطه ۴ دارای سازنده ارتوز کمتری است؛ این امر می‌تواند در ارتباط با رخداد دگرنهادی پتاسیک در نمونه‌های مورد مطالعه باشد. به این ترتیب که طی این

فرایند، پلازیوکلاز کلسیک نخست به وسیله آلبیت و سپس به وسیله فلدسپار پتاسیک جانشین شده است. بنابراین می‌توان به این نتیجه رسید که طی این فرایند، هسته بلور پلازیوکلاز از مرکز به حاشیه بلور به تدریج بر اثر از دست دادن کلسیم به پلازیوکلاز سدیک تبدیل می‌شود (سدیک تربودن حاشیه نسبت به هسته بلور پلازیوکلاز در بافت آنتی راپاکیوی) و سپس حاشیه بلور پلازیوکلاز که ترکیب سدیک تری نسبت به هسته بلور پلازیوکلاز یافته با آلكالی فلدسپار جایگزین می‌شود.

وجود حاشیه آلبیتی در مرز مشترک دو بلور آلكالی فلدسپار (شکل E) از موارد جالب توجه دیگر در بررسی میکروسکوپی مقاطع نازک است. با توجه به اینکه حاشیه آلبیتی با درجه و نوع پرتیتی شدن آلكالی فلدسپار (پرتیت رشته‌ای، تکه‌ای، رگه‌ای و ...) برازش ندارد، بلکه صرفاً در سطح مشترک دو بلور آلكالی فلدسپار تشکیل شده است، تصور می‌شود که تشکیل حاشیه آلبیتی با تشکیل پرتیت مرتبط نیست. از طرف دیگر شدت پرتیتی شدن آلكالی فلدسپار تاثیری در ایجاد حاشیه آلبیتی ندارد؛ بنابراین خاستگاه جدایش این پدیده را مردود دانسته و بنابر نظر [۱۹] این امر را به جانشینی آلبیت به جای آلكالی فلدسپار طی فرایند دگرنهادی منتب می‌دانیم. کارتن [۳۲] حضور حاشیه‌های آلبیتی در حاشیه‌های بافت آنتی راپاکیوی را به واکنش:



و تبادل عناصر الکالی را به واکنش



نسبت می‌دهد. توزیع عناصر الکالی بین یک شاره همگن و آلكالی فلدسپارها به شدت به دما وابسته‌اند [۳۳]. بنابراین در یک سیستم بسته، پتاسیم به بخش‌های سردتر و سدیم به بخش‌های گرمتر سیستم انتشار می‌یابد. اگر چنین سیستمهایی باز باشند نشست شاره از محیط با دمای بالاتر به محیط با دمای پایین‌تر، مبادله پتاسیم در شاره با سدیم در سنگ دیواره صورت می‌گیرد و دگرنهادی پتاسیک پدید می‌آید. اگر شاره از ناحیه‌ای با دمای پایین‌تر به ناحیه‌ای با دمای بالاتر نشست کند، فرایند وارون رخ می‌دهد و سدیم موجود در شاره با پتاسیم موجود در سنگ دیواره مبادله می‌شود و دگرنهادی سدیک به وجود خواهد آمد.

**جدول ۴** نتایج آنالیز شیمیایی سنگ کل نمونه‌های انتخاب شده از توده نفوذی اکاپل. مقدار بدون اجزای فرار می‌باشد.

	MKBA1	MKBA2	MKAK17	MKT13	MKG015	MKT12	MKKH14	MK4	MKD16	MK5	MK3
SiO <sub>2</sub> (Wt%)	۵۳.۵	۵۴	۵۴.۱	۵۴.۷	۵۹.۳	۵۹.۹	۶۰	۶۵.۹	۶۸	۶۸.۹	۶۹.۱
TiO <sub>2</sub>	۱.۷۹	۱.۶۵	۱.۴۹	۱.۴۱	۱.۱۵	۱.۰۲	۱.۱۲	۱.۲۳	۰.۴۵	۰.۵	۰.۴۱
Al <sub>2</sub> O <sub>3</sub>	۱۶.۸۵	۱۶.۲	۱۶.۷۵	۱۶.۳۵	۱۶.۲	۱۶.۱	۱۶	۱۵	۱۵.۱	۱۵.۲۵	۱۳.۸
Fe <sub>2</sub> O <sub>3</sub>	۷.۶۹	۷.۲	۷.۰۳	۷.۰۳	۵.۶۶	۴.۹۷	۵.۳۴	۴.۹۹	۲.۵	۲.۶۷	۲.۳۵
MnO	۰.۱	۰.۰۹	۰.۱	۰.۰۹	۰.۰۷	۰.۰۷	۰.۰۸	۰.۰۶	۰.۰۳	۰.۰۴	۰.۰۳
MgO	۳.۲۲	۳.۶۵	۳.۳۷	۳.۷۴	۲.۶۵	۲.۵۷	۲.۶۶	۲.۲۶	۰.۹۳	۱.۲	۰.۸۶
CaO	۵.۳	۴.۹۱	۵.۱۷	۵.۲۲	۴.۰۶	۴.۱۳	۳.۸۷	۲.۵۴	۲.۱۶	۲.۲۵	۱.۸۴
Na <sub>2</sub> O	۰.۶	۰.۰۱	۰.۵۱	۰.۲	۰.۰۸	۰.۰۹	۰.۰۳	۴.۵۷	۴.۶۵	۴.۰۵	۴.۲۵
K <sub>2</sub> O	۲.۵۱	۲.۸۲	۳.۵	۲.۹	۳.۴۷	۵.۰۹	۳.۳	۳.۸۳	۳.۹۸	۴.۱۳	۳.۷۹
P <sub>2</sub> O <sub>5</sub>	۰.۸۷	۰.۸۲	۰.۸۱	۰.۸۴	۰.۶۶	۰.۶۹	۰.۶۹	۰.۳۵	۰.۲۸	۰.۱۳	۰.۱۶
Total	۹۷.۲۳	۹۶.۳۵	۹۷.۸۳	۹۷.۴۸	۹۸.۳	۹۹.۶۳	۹۸.۳۶	۱۰.۷۳	۹۸.۰۸	۹۹.۵۴	۹۶.۶۹
Ni (ppm)	۳.۸	۳.۷	۴.۶	۴.۴	۳.۸	۳.۳	۸.۰	۲.۲	۲.۲	۱.۵	۱.۱
Cr	۲.۰	۲.۰	۰.۰	۸.۰	۴.۰	۵.۰	۴.۰	۳.۰	۲.۰	۲.۰	۱.۰
Co	۷.۰۹	۵.۲۱	۳.۴	۳.۷۲	۳.۹۲	۴.۴۶	۶.۱۵	۸.۹۹	۵.۳۲	۱۱۶	۱۰۵
V	۱۵.۰	۱۰.۶	۱۱.۶	۱۲.۴	۹.۸	۹.۲	۹.۵	۱۱.۶	۴.۳	۴.۸	۳.۹
Zn	۹.۹	۸.۷	۹.۱	۹.۷	۷.۷	۶.۳	۶.۹	۸.۱	۲.۷	۴.۳	۳.۲
Sn	۲	۲	۲	۲	۲	۲	۲	۳	۲	۱	۲
Rb	۵.۷	۶.۲۷	۶.۸۱	۶.۹۲	۶.۰۶	۶.۰۱	۶.۸	۱۷.۱	۱.۰۷	۱۳۶	۱.۰۷
Ba	۱۱.۵۵	۸.۷۴	۱۷.۵۵	۱۲.۲۵	۱۱.۹۵	۱۳.۳۵	۹.۸۸	۶.۲۶	۹.۳۲	۱۱۷.	۵.۷۹
Sr	۱۵.۶۵	۱۱.۸۵	۱۸.۴۰	۱۵.۰۵	۱۲.۵۰	۱۳.۳۵	۱۲.۱۰	۴.۵۳	۷.۴۹	۷.۷۹	۵.۶۶
Ga	۲.۵	۲.۱	۲.۳	۲.۴	۲.۴	۲.۳	۲.۴	۲.۶	۲.۲	۲.۳	۲.۱
Nb	۸.۹	۵.۷	۹.۵	۸.۳	۶.۸	۹.۷	۶.۵	۹.۷	۴.۴	۳.۵	۳.۱
Hf	۶	۵	۹	۶	۸	۶	۸	۱۲	۵	۵	۵
Zr	۲۷.۹	۲۲.۵	۴۳.۲	۲۵.۸	۳۳.۵	۲۲.۳	۳۴.۸	۴۷.۳	۱۵۸.۵	۱۸۹	۱۸۲.۵
Y	۱۴.۴	۱۳.۱	۵.۱۵	۱.۴	۱۱.۴	۱۹	۱۱.۸	۱۷.۷	۶.۶	۷.۱	۶
Th	۱.۰	۱.۶	۱.۴	۱.۵	۲.۳	۸.۰	۲.۱	۲.۳	۲.۸	۲.۸	۲.۷
U	۲.۶	۴.۶	۲.۵	۳.۱	۲.۵	۸.۲	۴.۷	۵.۶	۵.۵	۲.۸	۴.۲
Cs	۰.۶	۱.۲	۱.۶	۰.۷	۱.۲	۰.۵	۰.۹	۲.۲	۱	۱.۹	۰.۹
Ta	۰.۳	۳.۵	۶.۲	۴.۹	۴.۶	۱۱	۴.۶	۷.۸	۳.۷	۳.۲	۲.۸
La	۱۱.۵	۷.۶۳	۱۲.۳۵	۱.۰۴	۹.۲۵	۱.۰۵	۹.۲۷	۱۲.۲	۵.۳۸	۵.۱۵	۴.۶
ce	۱۷.۸	۱۲.۳۵	۱۹.۲۵	۱.۶۵	۱۴۴	۱۸.۴	۱۴۵	۲۰.۸	۷.۸۲	۸.۱۱	۷.۰۶
Nd	۶۱.۷	۴۳	۶۴.۹	۵۵.۵	۴۷.۱	۶۴.۹	۴۷.۷	۶۷.۲	۲۲.۷	۲۴	۱۹
Sm	۸.۳	۶	۸.۵	۷.۲	۶.۴	۸.۹	۶.۲	۸.۹	۲.۹	۳.۱	۲.۵
Eu	۲.۳	۱.۸	۲.۳	۲.۱	۱.۹	۲.۶	۱.۸	۲	۰.۸	۰.۹	۰.۷
Gd	۶.۶	۵.۱	۷	۶.۱	۵.۲	۷.۳	۵	۷.۳	۲.۵	۲.۷	۲.۲
Dy	۳.۱	۲.۶	۳.۱	۲.۷	۳.۲	۹.۳	۲.۴	۳.۳	۱.۲	۱.۲	۱
Er	۱.۴	۱.۲	۱.۴	۱.۲	۱	۱.۷	۱.۱	۱.۶	۰.۵	۰.۶	۰.۵
Yb	۱	۰.۸	۱.۱	۱	۰.۸	۱.۵	۰.۹	۱.۴	۰.۵	۰.۵	۰.۴
Tb	۰.۷	۰.۶	۰.۷	۰.۶	۰.۵	۰.۸	۰.۵	۰.۸	۰.۲	۰.۳	۰.۲
Ho	۰.۵	۰.۴	۰.۵	۰.۴	۰.۴	۰.۶	۰.۴	۰.۶	۰.۲	۰.۲	۰.۲
Tm	۰.۱	۰.۱	۰.۱	۰.۱	۰.۱	۰.۲	۰.۱	۰.۲	۰.۱	۰.۱	۰.۱
Lu	۰.۱	۰.۱	۰.۱	۰.۱	۰.۱	۰.۲	۰.۱	۰.۲	۰.۱	۰.۱	۰.۱
Pr	۱۸.۴	۱۲.۶	۲۰.۴	۱۶.۵	۱۴.۸	۱۹.۸	۱۴.۷	۲۱	۷.۵	۷.۵	۶.۲

## ۶) برداشت

بررسی‌های انجام شده در این پژوهش نشان می‌دهند که:

- ۱- روابط صحرابی و مطالعات سنگ‌شناختی (مثل فراوانی بافت راپاکیوی، بافت پوئی کلیتیک، بافت غربالی، حضور آنکلاوهای میکروگرانولار مافیک و آپاتیت سوزنی) نشان‌دهنده آلودگی ماجمایی در منطقه مورد مطالعه هستند.
- ۲- بر اساس بررسیهای میکروسکوپی و ریزکاو الکترونی، دو نسل پلازیوکلاز در واحد مونزوگرانیتی مورد مطالعه قابل تشخیص‌اند: نسل اول به صورت انکلوژیون در فنوکریستهای آلکالی فلدسپار قرار دارند که دارای ترکیب  $Ab_{59.54} Or_{3.58} An_{36.88}$  بوده و در گستره آندزین قرار می‌گیرند؛ نسل دوم بلورهای پلازیوکلاز به صورت بلورهای پوششی در بافت‌های راپاکیوی و غربالی را باید نام برد که در بافت راپاکیوی بلور آلکالی فلدسپار با ترکیب  $Ab_{13.71} Or_{85.45} An_{0.84}$  در گستره ارتوکلاز و پلازیوکلاز پوششی با ترکیب  $Ab_{68.46} Or_{3.82} An_{27.72}$  روی خط مشترک گستره آندزین و الیگوکلاز قرار می‌گیرند. بلورهای پلازیوکلاز در بافت غربالی نیز با بافت راپاکیوی دارای ترکیب  $Ab_{67.55} Or_{5.29} An_{27.16}$  بوده و روی خط مشترک گستره آندزین و الیگوکلاز قرار می‌گیرند. ترکیب مشابه پلازیوکلاز پوششی در بافت راپاکیوی و بافت غربالی، خود می‌تواند مؤید نسل دوم بلورهای پلازیوکلاز باشد که احتمالاً طی فرایند اختلاط ماجمایی تشکیل شده‌اند.
- ۳- منحنی نمودارهای لکاریتمی عناصر سازگار در مقابل عناصر ناسازگار می‌تواند با فرایند اختلاط ماجمایی در تشکیل و تحول توده گرانیتی اکاپل در ارتباط باشد.
- ۴- مقایسه ترکیب بیوتیت و آمفیبول نمونه‌های مورد مطالعه با توده نفوذی کالیفرنیا نشان می‌دهد که این نمونه‌ها در رده I-SC (گرانیت‌های نوع I به شدت آلوده) قرار می‌گیرند، بنابراین واحد مونزوگرانیتی مورد مطالعه از یک ماجمای نوع I مشتق شده از گوشه‌بالایی و یا پوسته تحتانی که تحت تاثیر آلودگی قرار گرفته است، تشکیل شده است.
- ۵- بافت آنتی‌راپاکیوی که در آن بلور پلازیوکلاز با ترکیب  $Ab_{83.18} Or_{4.67} An_{12.15}$  روی خط مشترک الیگوکلاز-آلبیت و بلور آلکالی فلدسپار پوششی آن با ترکیب  $Ab_{7.46} Or_{91.79} An_{0.75}$  در گستره ارتوکلاز قرار می‌گیرد و نیز حضور حاشیه‌آلبیتی در پیرامون پلازیوکلاز نیز از شواهد آلایش با مواد پوسته‌ای در منطقه مورد مطالعه محسوب می‌شوند.

**قدردانی**

از شورای محترم پژوهشی پر迪س علوم دانشگاه تهران به دلیل تأمین هزینه مالی این پژوهش (طرح نوع ششم) تشکر می‌شود. همچنین از جانب آقای مهندس مجتبی کرمی کارشناس ارشد محترم سازمان انرژی اتمی ایران به خاطر همکاری ارزشمندانه در انجام کارهای صحرائی سپاسگزاریم.

**مراجع**

- [1] Reid J. B., Evans O. C., Fates D. G., "Magma mixing in granitic rocks of the Central Sierra Nevada, California", Earth Planet.Sci.Lett 66 (1983) 243-261.
- [2] Bindeman I. N., "Experimental studies of magma mixing", Int. Geol. Rev., 35 (1993) 721-738.
- [3] Hibbard M. J., "The magma mixing origin of mantled feldspars", Contrib. Mineral. Petroil 76 (1981) 158-170.
- [4] Blake D. H., "Intrusive felsic-mafic net-veined complexes in north Queensland", Bul. Mineral Resour., J. Aust. Geol. Geophys. 6 (1981) 95-99.
- [5] Barrier M., "Hybridisation de roches basiques par un granite porphyroïde dans le massif de Ploumanac'h (Cotes-du-Nord)", C.R.Acad.Sci., Paris 274 (1972) 983-986.
- [6] Baxter S., Feely M., "Magma mixing and mingling textures in granitoids: examples from the Galway granite, Connemara, Ireland", Mineralogy and Petrology 76 (2002) 63-74.
- [7] Blundy J. D., Sparks R. S. J., "Petrogenesis of mafic inclusions in granitoids of the Adamello Massif, Italy", J. Petrol. 33 (1992) 1039-1104.
- [8] Axen G. J., Hassanzadeh J., Stockli D. F., Lam P. S., Grove M., "Exhumation of the West-central Alborz Mountains ,Iran ,Caspian subsidence ,and collision-related tectonics", Geology 29 6 (2001) 559-562.
- [9] Gansser A., Huber H., "Geological observations in the central Elborz,Iran", Schweizerische Mineralogische und Petrographische Mitteilungen 42 (1962) 583-630.
- [10] Glaus M., "Die geologie des gebietes nordich Elburz, Iran", Mitt.Ins.E.T.H.N.Zurich 48 (1965) 165.
- [11] Isler A., Seger F., "Preliminary report on the field activities west Alam-kuh mapping project", Geo.Note 821 (1972).
- [12] Deshpande G. G., "Exploration for Radioactive Mineral Deposits in the Central Alborz Region", Atomic Energy Organization of Iran 50 (1987).

- [۱۳] خلچ م، "بررسی کانی شناسی توده گرانیتیوئیدی اکاپل"، پایان نامه کارشناسی ارشد، پردیس علوم، دانشکده زمین شناسی ۲۰۰ صفحه (۱۳۸۴).
- [۱۴] اسماعیلی د، خلچ م، ولی زاده م. و، "پترولوژی و ژئوشیمی توده گرانیتیوئیدی اکاپل (جنوب غرب کلاردشت)", مجله علوم دانشگاه تهران، (۱۳۸۴) زیر چاپ.
- [۱۵] Annells R. N., Arthurton R. S., Bazley R. A., Davies R. G., "Explanatory text of the Qazvin and Rasht quadrangles map: Tehran", Geological Survey of Iran 94 (1975).
- [۱۶] Stockline J., "Possible ancient continental margins in Iran", in Burk C. A., And Drake C. L., eds., "The geology of conyinental margins", New York, Springer- Verlag (1974) 837-887.
- [۱۷] Vahdati- Daneshmand F., "Amol: geological quadrangle map of Iran: Tehran", Geological Survey of Iran, scale 1:250000 (1991).
- [۱۸] Didier J., "Contribution of enclaves studies to the understanding of origin and evolution of granite magma", Geol.Rundsch 76 (1987) 41-50.
- [۱۹] Slaby E., Galbarczyk- Gasiorowska L., Baszkiewicz A., "Mantled alkali- feldspar megacrysts from the marignal part of the Karkonosze granitoid massif", Acta Geological Polonia 52 4 (2002) 501-519.
- [۲۰] Speer J. A., "Mica in igneous rocks", In: Micas, Bailey S. W. (ed; Mineralogical Society of America Rewiew in Mineralogy 13 (1984) 299-356.
- [۲۱] Ague J. J., Brimhall G. H., "Granites of the batholits of California", Products of local assimilation and regional scale contamination. Geology 15 (1987) 63-66.
- [۲۲] Leak B. E., Woolley A. R., Birch W. C., Gilbert M. C., Grice J. D., Hawthone F. C., Kato A., Kisch H. J., Krivovicher V. G., Linthout K., Laird J., Mandarino J., "Nomenclature of amphiboles", Report of the subcommittee on amphiboles of the International Mineralogical Association Commission on new mineral and mineral names. Mineralogical Magazine 61 (1997) 295-321.
- [۲۳] Cocherie A., "Systematic use of trace element distribution pattern in Log-Log diagrams for plutonic suite", Geochemical and cosmochimica Acta 50 (1986) 2517-2522.
- [۲۴] Smith J. V., "Feldspar minerals", V.2, Berlin. Heidelberg, Springer-Verlag (1974) 690.
- [۲۵] Wark D., Stimac J., "Origin of mantled (rapakivi)felspars: experimental evidence of a dissolution- and diffusion-controlled mechanism", Con. Min. Pet (1992) 111.

- [26] Shelly D., "Igneous and metamorphic rocks under the microscope (Classification, texture, microstructures and mineral preferred orientation)", Chapman & Hall London (1993).
- [27] Didier J., "Granites and their enclaves: The bearing of enclaves on the origin of granites", Development in petrology, 3. Elsevier, Amesterdam (1973) 393.
- [28] Furman T., Spera F. J., "Co-mingling of acid and basic magma with implications for the origin of mafic I-type xenoliths, field and petrochemical relations of usual dike complex at Eagle Peak Lake, Sequoia National Park, California, USA", J. Volcanol. Geotherm. Res24 ( 1985) 151-178.
- [29] Reid J. B., Hamilton M. A., "Origin of Serra Nevadan granite: evidence from small scale composite dikes", Con. Min. Pet 96 (1987) 441-454.
- [30] Barbarin B., "Importance des differentes processus dhybridation dans les plutons granitiques du batholite de la Sierra Nevada, California", Schweiz. Mineral. Petrogr. Mitt 69 (1989) 303-315.
- [31] Bateman P. C., Clark L. D., Huber N. K., "The Sierra Nevada batholith- A synthesis of recent work across the central part: U.S", Geological Survey Professional Paper 414D (1963) D1-D46.
- [32] Carten R. B., "Sodium- calcium metasomatism, chemical, temporal and spatial relationship at Yerington, Nevada, porphyry copper deposit", Econ. Geol 81 (1986) 1495-1519.
- [33] Lagach M., Weisrod A., "The system two alkali feldspars KCl- NaCl- H<sub>2</sub>O at moderate to high temperatures and low pressures", Con. Min. Pet 62 (1977) 77-101.